

- [3] И. С. Осадько, С. А. Кулагин. Опт. и спектр., 49, 290, 1980.
- [4] Ю. Е. Перлин, Б. С. Цукерблат. Эффекты электронно-колебательного взаимодействия в оптических спектрах примесных парамагнитных ионов. «Штиинца», Кишинев, 1974.
- [5] М. Лах. J. Chem. Phys., 20, 1752, 1952.
- [6] Р. Файнман, А. Хиббс. Квантовая механика и интегралы по траекториям. «Мир», М., 1968.
- [7] Справочник по специальным функциям, гл. 19. Под ред. М. Абрамовича и И. Стиган. «Наука», М., 1979.
- [8] К. Н. Соловьев, И. Е. Залесский, В. Н. Котло, С. Ф. Шкирман. Письма ЖЭТФ, 17, 463, 1973.
- [9] S. Völker, J. H. van der Waals. Mol. Phys., 32, 1703, 1976.
- [10] А. Ангро. Математика для электро- и радиоинженеров. «Наука» М., 1965.

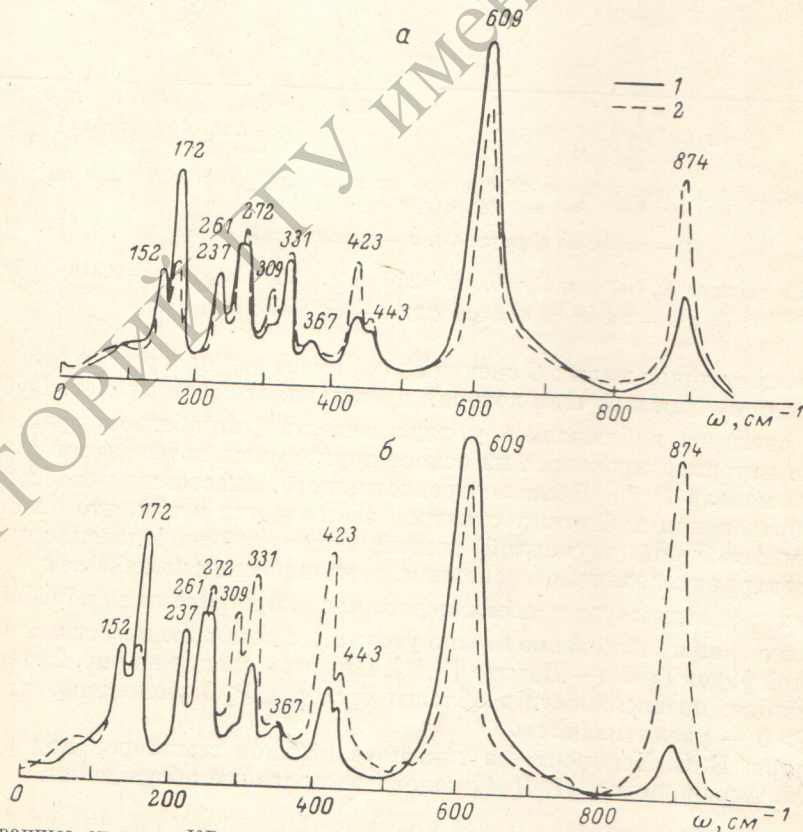
Поступило в Редакцию 18 августа 1981 г.

УДК 535.375.54

ОСОБЕННОСТИ УГЛОВОЙ ЗАВИСИМОСТИ СПОНТАННОГО КР В LiNbO_3

A. E. Семенов и E. B. Черкасов

В работе представлены экспериментальные данные об особенностях поляризованных спектров КР в номинально чистых и легированных железом монокристаллах LiNbO_3 (точечная группа C_{3v}) в интервале температур $T=20 \div 600^\circ\text{C}$.



Поляризованные спектры КР кристаллов LiNbO_3 (a) и $\text{LiNbO}_3=\text{Fe}$ ($C_{\text{Fe}}=0.07$ вес. %) (b).
Геометрия рассеяния: 1 — z (xx) y , 2 — z (xx) g .

Образцы представляли собой параллелепипеды с размерами $5 \times 6 \times 8$ мм, вырезанные вдоль кристаллографических осей x , y , z соответственно ($z \parallel c$ — опти-

ческой оси, $x \perp z$ — плоскости скольжения, $y \perp x \perp z$). Концентрация железа в образцах определялась методом эмиссионного анализа: $C_{Fe}=0, 0.005, 0.07$ вес. %. Начальное отношение ионов железа: $Fe^{2+}/Fe^{3+}=0.4$. Спектры КР возбуждались Не—Не лазером ($\lambda=6328 \text{ \AA}$, мощность $5 \cdot 10^{-2} \text{ Вт}$, диаметр луча -0.2 мм) и регистрировались на спектрометре ДФС-24.

При изучении поляризованных спектров КР монокристаллов $LiNbO_3$ в геометрии рассеяния z (xx) y обнаружена «асимметрия» рассеяния при поворотах кристалла вокруг осей z и y на угол 180° , проявляющаяся в значительном изменении интенсивностей линий спектра.

Спектры КР z (xx) y и z (xx) \bar{y} номинально чистого и легированного железом ($C_{Fe}=0.07$ вес. %) монокристалла $LiNbO_3$ при температуре $T=20^\circ \text{ C}$ представлены на рисунке.

Согласно правилам отбора в спектрах z (xx) y и z (xx) \bar{y} должны наблюдаться только qLO - и qTO -фононы смешанной (A_1+E) симметрии. Из диаграмм рассеяния следует, что направление волновых векторов фононов для этих двух случаев различается на угол 90° . Из диаграмм рассеяния также следует эквивалентность спектров z (xx) y , \bar{z} (xx) \bar{y} , y (xx) z , \bar{y} (xx) \bar{z} и эквивалентность спектров z (xx) \bar{y} , \bar{z} (xx) y , y (xx) \bar{z} , \bar{y} (xx) z , что подтвердилось экспериментально. В спектрах проявляются также линии E (TO)-фононов, запрещенные правилами отбора для указанных геометрий рассеяния, и которые должны наблюдаться для геометрий рассеяния y (zx) z .

Используя общее уравнение для эффективного сечения КР, полученное в [1] для полярных одноосных кристаллов и метод расчета, описанный в [2], получим уравнение для эффективного сечения рассеяния в кристаллах симметрии C_{3v} при геометриях рассеяния z (xx) y и z (xx) \bar{y}

$$S(qLO) = \frac{1}{2} (a \mp c)^2 (\alpha + \beta)^2, \quad (1)$$

$$S(qTO) = \frac{1}{2} (a \pm c)^2 \alpha^2, \quad (2)$$

где S (qLO) и S (qTO) — эффективное сечение рассеяния на qLO - и qTO -фононах соответственно; верхние знаки в скобках соответствуют случаю z (xx) y , нижние — z (xx) \bar{y} ; α — коэффициент рассеяния, обусловленного упругой деформацией кристаллической решетки, β — коэффициент рассеяния пропорциональный напряженности электрического поля в кристалле, связанного с LO - и qLO -фононами; $\beta=0$ для TO -фононов; a и c — компоненты тензоров КР для данной линии.

Из (1) и (2) следует, что для рассматриваемых геометрий рассеяния при повороте кристалла вокруг оси y на 180° интенсивность qLO -фононов возрастает, а интенсивность qTO -фононов уменьшается, или наоборот. Этот результат помогает разделить qLO - и qTO -фононы в данных спектрах КР, если удалось выполнить отнесение в спектре хотя бы одного из них.

Для характеристики «асимметрии» указанных спектров КР введем коэффициент асимметрии каждой фононной моды: $K_j=I_{j1}/I_{j2}$, где I_{j1} — интегральная интенсивность j -ой линии спектра z (xx) y ; I_{j2} — то же для спектра z (xx) \bar{y} ; $0 < K_j < 1$ — для qLO -, $K_j > 1$ — для qTO -фононов. Для проявляющихся в спектрах E (TO)-фононов, запрещенных правилами отбора, $K_j=1$. Экспериментально установлено, что для qLO - и qTO -фононов коэффициенты K_j существенно зависят от концентрации Fe в образцах и от температуры. Значения

Значения коэффициентов асимметрии K_j оптических колебаний кристаллов $LiNbO_3$ -Fe при различных значениях концентрации Fe

Частоты колебаний ω , cm^{-1}	Симметрия колебаний	K_j	
		$C = 0$	$C = 0.07$ вес. %
152	E (TO)	1.0	1.0
172	qTO	1.91	2.22
237	E (TO)	1.0	1.0
261	E (TO)	1.0	1.0
272	qLO	* 0.9	* 0.9
309	qLO	* 0.2	* 0.1
331	qLO	0.92	0.54
367	E (TO)	* 1.0	* 1.0
423	qLO	0.51	0.35
443	qLO	* 0.9	* 0.6
609	qTO	1.26	1.45
874	qLO	0.31	0.14

* — точность измерения интенсивности ограничена сильным перекрытием с близлежащими линиями.

коэффициента для образцов с $C_{Fe}=0$ и 0.07 вес. % при $T=20^\circ C$ приведены в таблице. Изучение температурной зависимости $K_j(T)$ в диапазоне температур $T=20 \div 600^\circ C$ показало, что для всех образцов $K_j(T)$ имеет экстремумы в точках $T \approx 100, 125, 150, 200, 400^\circ C$ ($\Delta T = \pm 5^\circ C$).

Измерив коэффициенты K_j для каждой разрешенной линии спектра, можно вычислить для этих линий отношение компонент тензора КР; из (1) и (2) для каждой j -ой линии спектра получим

$$\frac{a_j}{c_j} = \pm \frac{1 - K_j^{1/2}}{1 + K_j^{1/2}}. \quad (3)$$

Знаки + и — перед дробью относятся к рассеянию на qLO - и qTO -фонах соответственно.

Обнаруженные экстремумы на кривых температурной зависимости коэффициентов асимметрии, возможно, связаны с существованием «промежуточных сегнетоэлектрических переходов», сопровождающихся изменением отношения параметров c_h/a_h гексагональной ячейки кристалла, и при которых происходит аномальное изменение величины спонтанной поляризации [3].

При возрастании концентрации железа в $LiNbO_3$ оптическое повреждение, возникающее в кристалле под действием возбуждающего КР лазерного луча, растет. При оптическом повреждении кристалла в облучаемой области возникают локальные электрические поля, связанные с перезарядкой примесей и пространственным перераспределением электрических зарядов. Эти поля по порядку величины сравнимы с величиной поля спонтанной поляризации [4]. Образовавшиеся локальные электрические поля могут различным образом влиять на процесс КР в кристалле [5], обусловливая, в частности, изменение проявления асимметрии в спектрах КР при изменении концентрации железа.

Введенный здесь коэффициент асимметрии является чувствительным характеристическим параметром спектров КР кристаллов $LiNbO_3$ и, возможно, всех кристаллов симметрии C_{3v} .

Литература

- [1] R. Loudon. Adv. Phys., 13, 423, 1964.
- [2] R. F. Schaufele, M. J. Weber. Phys. Rev., 152, 705, 1966.
- [3] И. Г. Исмайлзаде, В. И. Несторенко, Ф. Н. Миришли. Кристаллография, 13, 33, 1968.
- [4] В. И. Белинчев, И. Ф. Канаев, В. К. Малиновский, В. К. Стурман. ФТТ, 18, 2256, 1976.
- [5] А. Пинзак, Е. Бурштейн. В кн.: Рассеяние света в твердых телах, с. 38. «Мир», М., 1979.

Поступило в Редакцию 31 августа 1981 г.

УДК 535.375

ВЫСОКОЧАСТОТНЫЙ КРАЙ СПЕКТРА КОМБИНАЦИОННОГО РАССЕЯНИЯ СВЕТА ТЕТРАГОНАЛЬНОГО ТИТАНАТА БАРИЯ

A. A. Кухарский

Титанат бария является одним из наиболее изученных сегнетоэлектриков [1]. Первый спектр комбинационного рассеяния света (КРС) в этом материале описан двадцать лет тому назад [2]. С тех пор он неоднократно уточнялся в целом ряде исследований [3-18]. $BaTiO_3$ имеет пять атомов в элементарной ячейке и соответственно пятнадцать колебательных степеней свободы. Выше $120^\circ C$ [1], а по данным авторов [10, 17] выше $133^\circ C$, кристалл титаната бария имеет кубическую симметрию класса O_h , а при более низких температурах вплоть до $5-10^\circ C$ он относится к тетрагональному классу симметрии C_{4v} .